

Lifshitz Formula Using Box Renormalization

Maryam Miralaei and Reza Moazzemi

Department of Physics, University of Qom, Ghadir Blvd., Qom 371614-611, I.R. Iran

October 3, 2018

Abstract

In this paper the Lifshitz formula for the Casimir energy between two dielectrics in zero temperature is derived using box renormalization. Although there are several derivations for the force in this case in the literature, including Lifshitz's own proof, so far there has been no unambiguous and rigorous derivation for energy that we are aware of. Since the energy becomes important in some cases, e.g. calculation of entropy or heat capacity, using the correct and precise definition of the Casimir energy, for the first time, we remove all of the infinities systematically without any ambiguity. This proof also shows the strength and accuracy of the box renormalization scheme.

فرمول لیفشیتز با استفاده از بازبهنجارش جعبه

مریم میرعلائی و رضا معظمی*

گروه فیزیک، دانشکده علوم، دانشگاه قم، قم، ایران

تاریخ دریافت: تاریخ پذیرش:

چکیده

در این مقاله فرمول لیفشیتز برای انرژی کازیمیر بین دو دی الکتریک در دمای صفر مطلق با استفاده از روش بازبهنجارش جعبه به دست می آید. هر چند که برای محاسبه نیروی کازیمیر در این مورد در منابع مختلف اثبات های متعددی ارائه شده است از جمله اثبات خود لیفشیتز، اما ما تاکنون اثبات بدون ابهام و بسیار دقیق برای انرژی ندیده ایم. از آنجا که خود انرژی در بعضی موارد، مانند محاسبه آنتروپی یا ظرفیت گرمایی مهم می شود، ما اینجا از تعریف صحیح و دقیق انرژی کازیمیر استفاده می کنیم و، برای اولین بار، کلیه بینهایت ها را به صورت سیستماتیک و نه دستی، بدون ابهام حذف خواهیم نمود. این اثبات همچنین قدرت و دقت روش بازبهنجارش جعبه را نشان می دهد.

کلیدواژگان: انرژی کازیمیر، فرمول لیفشیتز، خلأ کوانتومی، میدان الکترو مغناطیسی، بازبهنجارش جعبه.

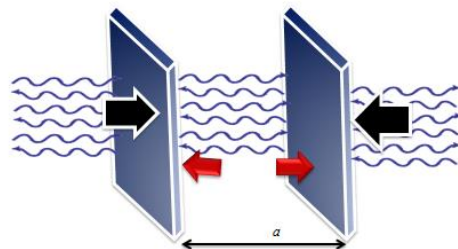
مقدمه

طبق محاسبه ی وی مقدار این نیرو در واحد سطح برابر با

$$F_{Cas} = -\frac{\hbar c \pi^2}{240} \frac{1}{a^4},$$

می باشد، که در آن c و \hbar به ترتیب سرعت نور و ثابت پلانک است. همانطور که مشاهده می شود این نیرو برای این پیکر بندی متناسب با عکس توان چهارم فاصله ی بین دو صفحه می باشد. این پدیده یک اثر کاملاً کوانتومی است که به دلیل اُفت و خیزهای انرژی خلأ کوانتومی به وجود می آید. به بیان دیگر انرژی خلأ در حضور و عدم حضور صفحات یکسان نمی باشد، طوری که اختلاف این دو انرژی به فاصله ی بین صفحات بستگی دارد. مشتق این اختلاف نسبت به فاصله ی a به ما نیرو می دهد. در واقع این اختلاف

اثر کازیمیر در سال ۱۹۴۸ میلادی توسط هندریک کازیمیر^۱، فیزیکدان هلندی، معرفی شد [۱]. کازیمیر وجود نیروی جاذبه ای را بین دو صفحه ی کاملاً رسانا، بدون بارخالص الکتریکی، موازی و صاف که در دمای صفر مطلق و در فاصله ی میکرومتری a در خلأ کوانتومی قرار داده شده اند، پیش بینی کرد.



شکل ۱: نیروی کازیمیر بین دو صفحه ی رسانا.

فرمول نیافتیم. به عنوان مثال در بعضی منابع نویسندگان از تعریف انرژی کازیمیر به صورت

$$E_{Cas}(a) = E_0(a) - \lim_{a \rightarrow \infty} E_0(a) \quad ۲$$

استفاده نموده‌اند [۸-۲۶]، که اگر منظور از $E_0(a)$ انرژی بین صفحات باشد، این تعریف با تعریف اصلی آن که تفاضل انرژی نقطه‌ی صفر کل خلأ با حضور و عدم حضور صفحات است سازگار نمی‌باشد. در معادله‌ی (۲) اگر منظور از $E_0(a)$ انرژی بین صفحات باشد، انرژی خلأ مربوط به بین صفحات از انرژی کل خلأ بدون صفحه کسر می‌شود که این معنی فیزیکی خاصی ندارد. لذا طبیعی است که انتظار داشته باشیم جواب ایشان بی‌نهایت باشد. در بعضی منابع اثر این اشتباه در تعریف با سایر اشتباهات محاسباتی از بین رفته و در نهایت به فرمول اصلی رسیده‌اند. در برخی منابع دیگر برای برطرف کردن بی‌نهایت‌های مسأله روش‌های پیچیده‌ی دیگری مانند روش پراکنندگی مُدها [۶،۷] ارائه نموده‌اند. این روش‌ها علاوه بر اختلاف و تفاوتی که با روش معمولی و سراسر کم کردن انرژی‌ها دارند خود نیز دچار ابهام هستند که در ادامه توضیح خواهیم داد. در محاسبه‌ی انرژی کازیمیر همواره با تفاضل دو انرژی بی‌نهایت برخورد داریم، که طبیعتاً جواب آن از نظر ریاضی مبهم می‌باشد:

$$E_{Cas} = \frac{\hbar}{2} \sum \omega - \frac{\hbar}{2} \sum \omega_0 \quad ۳$$

که در آن (ω_0) ها ω ها مُدهای میدان کوانتومی مورد نظر در (عدم) حضور صفحات می‌باشند. برای استخراج جواب فیزیکی از تفاضل دو بی‌نهایت باید بسیار محتاط و دقیق عمل نمود. باید دقت کرد هنگامی که صفحات وجود دارند ما از شرایط مرزی غیربدهی (دیریکله،

انرژی، برابر با کاری است که باید صورت پذیرد تا دو صفحه از بی‌نهایت آورده به فاصله‌ی a از یکدیگر قرار داده شوند. این نیرو به علت قدرت جاذبه‌ی بالا در فواصل میکرومتری و زیر میکرومتری، در طراحی سیستم‌های میکرو مکانیکی قابل توجه خواهد بود [۲]. اولین آزمایش در سال ۱۹۵۸ میلادی توسط مارکوس اسپارنای^۱ به ثبت رسید [۳]. هرچند که وی بر مشکلات آزمایشگاهی فایق آمد اما نتیجه‌ی آزمایش او همراه خطای ۱۰۰ درصدی بود، با این وجود نظریه‌ی کازیمیر را رد نکرد. بعد از ایشان آزمایشات متعددی برای اثبات اثر کازیمیر انجام شد اما به دلیل خطای بالا مورد اهمیت قرار نگرفتند. در سال ۱۹۹۶ میلادی عمر محی الدین^۲ موفق به آزمایشی شد که ۹۹ درصد موافق نظریه‌ی پیش بینی شده‌ی کازیمیر بود [۴].

البته باید توجه داشت که رسانای کامل در طبیعت وجود ندارد. به همین علت لیفشیتز^۳ در سال ۱۹۵۶ میلادی نیروی کازیمیر را برای دو صفحه‌ی دی‌الکتریک ضخیم به دست آورد [۵]. البته خود او جزئیات محاسبه را در مقاله نیاورده و تنها روش به دست آوردن فرمول را بیان کرده است.

بسیاری از نویسندگان سعی کرده‌اند که فرمول وی را به روش‌های مختلف به دست آورند، به عنوان نمونه منابع [۱۳-۶] را ببینید. اما در هیچ یک از این منابع، ما روش سیستماتیک و خودسازگاری جهت استخراج این

بررسی فرمول لیفشیتز بین دو صفحه‌ی دی الکتریک

در این بخش برای به دست آوردن فرمول لیفشیتز ابتدا روش بازبهنجارش جعبه را بیان می‌کنیم سپس برای به دست آوردن مُدها با استفاده از حل معادلات ماکسول شرایط مرزی را اعمال می‌کنیم.

بازبهنجارش جعبه

همانطور که در مقدمه اشاره شد، برای کم کردن صحیح بی‌نهایت‌ها از یکدیگر (بهنجارش) در دو حالت حضور و عدم حضور صفحات ما کل دستگاه را در هر حالت در یک جعبه قرار می‌دهیم و انرژی کل این دو پیکربندی را از یکدیگر کم می‌کنیم. در حالت اول دو صفحه‌ی موازی در فاصله‌ی a از یکدیگر، در نقاط $\pm \frac{a}{2}$ ، درون جعبه‌ای با ابعاد $L \times S$ ، در خلأ قرار داده شده‌اند (شکل ۲ (بالا)). S مساحت دیواره‌های جعبه (یا صفحات) و L فاصله‌ی آنها از هم می‌باشد. در پیکربندی دوم دو صفحه را در فاصله b از یکدیگر درون جعبه مشابه‌ای قرار می‌دهیم که البته در نهایت برای شرط عدم حضور صفحات b را به بی‌نهایت میل خواهیم داد (شکل ۲ (پایین)). در این بهنجارش انرژی کازیمیر به صورت زیر تعریف می‌شود [۲۹-۳۲]:

$$E_{\text{Cas}}(a) = \lim_{b \rightarrow \infty} \lim_{L \rightarrow \infty} [E(a, L) - E(b, L)] \quad \text{ع}$$

که در آن $E(a, L)$ و $E(b, L)$ به ترتیب انرژی کل پیکربندهای اول و دوم می‌باشند، که اگر $E(a)$ را مقدار انتظاری انرژی خلأ بین دو صفحه به فاصله‌ی a در نظر بگیریم به صورت زیر نوشته می‌شوند:

$$E(a, L) = E(a) + 2E\left(\frac{L-a}{2}\right)$$

$$E(b, L) = E(b) + 2E\left(\frac{L-b}{2}\right).$$

۵

نیومن و ...) برای به دست آوردن انرژی خلأ، استفاده می‌کنیم، اما برای خلأ بدون صفحه معمولاً از شرایط مرزی دوره‌ای استفاده می‌شود. این اختلاف خود ممکن است باعث ابهام در جواب نهایی مسأله شود. بعنوان مثال فرمول مرسوم می‌شود که در مقالات از آن استفاده می‌شود به شکل

$$E_{\text{Cas}}(a) = E_0(a) - \lim_{L \rightarrow \infty} \frac{a}{L} E_0(L)$$

است، که هرچند در بسیاری از موارد این فرمول به جواب صحیح می‌انجامد اما در این مسأله به دلایلی که ذکر شد هنوز مبهم باقی می‌ماند.

در این مقاله ما قصد داریم با یک روش سیستماتیک و خودسازگار از تعریف اصلی و دقیق انرژی کازیمیر فرمول لیفشیتز را استخراج نماییم. روش ما حذف بی‌نهایت‌ها با بازبهنجارش جعبه می‌باشد [۲۹-۳۲] ایده‌ی اساسی ما اینجا این است که با قرار دادن کل سیستم در یک جعبه، در هر دو حالت از یک نوع شرایط مرزی استفاده شود و انتظار داریم که در این صورت بی‌نهایت‌ها به صورت سیستماتیک و نه دستی از مسأله حذف شوند. خواهیم دید که بهنجارش جعبه این کار را برای ما انجام می‌دهد. ما ابتدا در بخش بعد انرژی کازیمیر را با روش بازبهنجارش جعبه توضیح می‌دهیم، و در ادامه خواهیم دید که این انرژی به جمع مُدها وابسته است. لذا با استفاده از توابع مولد مُدها که در پیوست به دست می‌آید به اثبات رابطه انرژی لیفشیتز با استفاده از بازبهنجارش جعبه خواهیم پرداخت. لازم به ذکر است هر چند فرمول لیفشیتز هم برای دمای صفر و هم برای دمای غیر صفر بیان شده، مسأله‌ای که ما در اینجا به بررسی آن می‌پردازیم در دمای صفر مطلق است، لذا از نظریه میدان کوانتومی استاندارد در دمای صفر استفاده می‌شود و کمینه انرژی کل محاسبه خواهد شد.

و $\pm \frac{a}{2}$ و دیواره‌های جعبه را در $\pm \frac{L}{2}$ قرار داده‌ایم. همچنین باید دقت شود ابتدا حد $L \rightarrow \infty$ و سپس حد $b \rightarrow \infty$ گرفته خواهد شد. نیروی کازیمیر با مشتق‌گیری از رابطه‌ی (۴) به صورت زیر به دست می‌آید:

$$F_{\text{Cas}}(a) = -\frac{dE_{\text{Cas}}(a)}{da}. \quad 6$$

مقدار انتظاری انرژی خلأ و توابع مولد مُدها همانطور که ذکر شد برای به دست آوردن نیروی کازیمیر از مشتق انرژی یعنی همان مؤلفه‌ی T^{00} تانسور انرژی-تکانه استفاده می‌کنیم (روش دیگر، محاسبه‌ی مستقیم فشار با استفاده از مؤلفه‌ی T^{zz} می‌باشد)، یعنی

$$E_0 = \langle H \rangle_0 = \langle 0 | T^{00} | 0 \rangle \\ = \langle 0 | \int d^3x \mathcal{T}^{00} | 0 \rangle. \quad 7$$

که در آن

$$\mathcal{T}^{\mu\nu} = \frac{\partial \mathcal{L}}{\partial \partial_\mu A_\sigma} \partial^\nu A_\sigma - g^{\mu\nu} \mathcal{L} \quad 8$$

تانسور چگالی انرژی تکانه می‌باشد و لاگرانژین میدان الکترومغناطیس به صورت

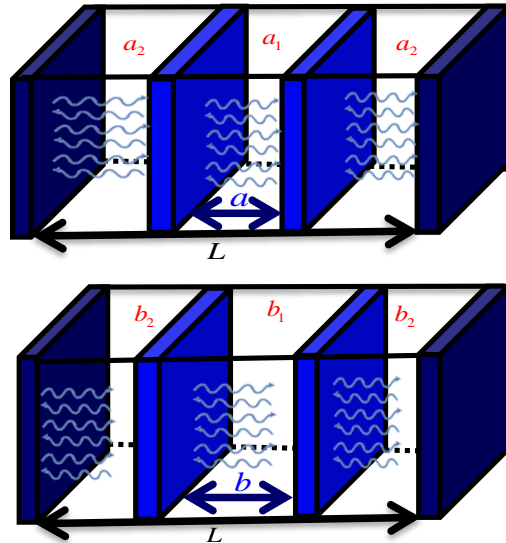
$$\mathcal{L} = -\frac{1}{4} F_{\mu\nu} F^{\mu\nu} \quad 9$$

است، که در آن $F_{\mu\nu}$ تانسور اندازه میدان می‌باشد که به شکل زیر است

$$F^{\mu\nu} = \partial^\mu A^\nu - \partial^\nu A^\mu. \quad 10$$

میدان کوانتومی برداری A_μ همان میدان یک فوتون، میدان الکترومغناطیس، می‌باشد. شکل این میدان بعد از کوانتس دوّم به صورت

باید دقت شود که در این مساله صفحات را به اندازه کافی ضخیم در نظر می‌گیریم که میدانها به خوبی در آن افت کرده و میدانهای بیرون نتوانند به داخل نفوذ کنند، همچنین در معادله (۵) چون در نهایت L را به بینهایت میل می‌دهیم ضخامت صفحه‌ها را در معادله وارد نکرده ایم (یعنی مثلاً $L+d$ نوشتیم). با توجه به اینکه هم جنس بودن صفحات منجر به این می‌شود که شرایط مرزی یکسانی روی آنها اعمال شود، مزیت این روش در این است که اگر صفحات و دیواره‌های جعبه را مشابه در نظر بگیریم، در هر دو پیکربندی انرژی‌ها با روش‌های شبیه هم به دست می‌آید و انتظار ما این است که جواب نهایی بعد از تفاضل، متناهی و فاقد بی‌نهایت‌های اضافی باشد.



شکل ۲: در شکل بالا (پایین) دو صفحه به فاصله‌ی a (b) از یکدیگر درون جعبه با ابعاد $L \times S$ قرار دارند. برای انرژی کازیمیر لازم است تفاضل انرژی کل این دو پیکربندی را به دست آوریم سپس L و b را به ترتیب به بی‌نهایت میل دهیم.

لازم به ذکر است برای اینکه در هنگام حدگیری هر دو

صفحه به بی‌نهایت برده شوند ما صفحات را در $\pm \frac{b}{2}$

الکتریکی عرضی، توابع مولد مُدها به صورت زیر به دست می‌آیند:

$$\Delta^{\text{TM}}(\omega, \kappa_{\perp}, a) = e^{-\kappa a} \left[(\varepsilon q + \kappa)^2 e^{qa} - (\varepsilon q - \kappa)^2 e^{-qa} \right] \quad ۱۵$$

$$\Delta^{\text{TE}}(\omega, \kappa_{\perp}, a) = e^{-\kappa a} \left[(q + \kappa)^2 e^{qa} - (q - \kappa)^2 e^{-qa} \right], \quad ۱۶$$

که در آن کمیت‌های κ و q از رابطه‌ی (پ.۱۱) و (پ.۱۲) به صورت

$$\kappa_{\perp} = (\kappa_x, \kappa_y) \quad q^2 = \kappa_{\perp}^2 - \frac{\omega^2}{c^2}, \quad ۱۷$$

$$\kappa^2 = \kappa_{\perp}^2 - \varepsilon(\omega) \frac{\omega^2}{c^2},$$

می‌باشند. ریشه‌های $\Delta^{\text{TM,TE}}$ همان مُدهای مجاز می‌باشند. لذا انرژی خلأ میدان الکترومغناطیسی در حضور صفحات دی‌الکتریک واقع در فاصله‌ی $\pm \frac{a}{2}$ در دمای صفر به صورت زیر می‌شود

$$E(a) = \frac{\hbar}{4\pi} \int_0^{\infty} \kappa_{\perp} d\kappa_{\perp} \times \sum_n \left(\omega_{\kappa_{\perp},n}^{\text{TM}} + \omega_{\kappa_{\perp},n}^{\text{TE}} \right) S. \quad ۱۸$$

برای محاسبه‌ی انرژی می‌توان جمع را طبق اصل آرگومان [۳۴] به یک انتگرال پربندی در فضای مختلط ω تبدیل نمود. اصل آرگومان برای یک تابع $g(z)$ که در ناحیه‌ی پربندی تحلیلی می‌باشد، به شکل زیر نوشته می‌شود

$$A_{\mu}(x) = \sum_{\mathbf{k}} \sum_{s=1,2} \left(\frac{\hbar c^2}{2V\omega_{\mathbf{k}}^s} \right)^{\frac{1}{2}} \times \boldsymbol{\varepsilon}_s^{\mu}(\mathbf{k}) \left[a_s(\mathbf{k}) e^{-ikx} + a_s^{\dagger}(\mathbf{k}) e^{ikx} \right] \quad ۱۱$$

است، که در آن S شمارنده دو نوع قطبش فوتون است و $a_s(\mathbf{k})$ و $a_s^{\dagger}(\mathbf{k})$ به ترتیب عملگرهای خلق و فنا‌ی یک فوتون با تکانه‌ی \mathbf{k} ، انرژی $\hbar\omega_{\mathbf{k}}^s$ و قطبش $\boldsymbol{\varepsilon}_s^{\mu}(\mathbf{k})$ می‌باشند. با استفاده از این میدان و معادله‌ی (۸) خواهیم داشت

$$T^{00} = \sum_{\mathbf{k}} \hbar\omega_{\mathbf{k}}^s \left[a_s^{\dagger}(\mathbf{k}) a_s(\mathbf{k}) + \frac{1}{2} \right]. \quad ۱۲$$

در نتیجه مقدار انتظاری انرژی خلأ، معادله‌ی (۷)، به صورت

$$E_0 = \frac{\hbar}{2} \sum_{\mathbf{k}} \omega_{\mathbf{k}}^s \quad ۱۳$$

خواهد شد. در رابطه‌ی فوق برای هر یک از راستاهایی که شرط مرزی غیر بدیهی اعمال نشود می‌توان جمع را به انتگرال تبدیل نمود $\left(\frac{1}{L} \sum \rightarrow \int \frac{dk}{2\pi} \right)$. مثلاً اگر تنها در راستای z شرط مرزی غیر بدیهی داشته باشیم و در دو راستای عمود دیگر شرط مرزی بدیهی باشد، مانند دو صفحه‌ی موازی عمود بر محور z به فاصله‌ی a ، به صورت زیر خواهد بود:

$$E(a) \equiv E_0 = \frac{\hbar}{2} \int \frac{d^2\mathbf{k}_{\perp}}{(2\pi)^2} \sum_n \omega_{\mathbf{k},n} S. \quad ۱۴$$

برای به دست آوردن بسامدهای ω در این مسأله، فرض می‌کنیم که دو صفحه‌ی دی‌الکتریک با ثابت گذردهی نسبی $\varepsilon(\omega)$ به فاصله‌ی a از یکدیگر قرار گرفته‌اند. با حل معادلات ماکسول و اعمال شرایط مرزی روی صفحات، توابع مولد مُدها را به دست خواهیم آورد. جزئیات این کار در پیوست آمده است. برای دو نوع قطبش TM و TE، مغناطیسی عرضی و

$$E(a) = \frac{\hbar}{4\pi} \int_0^\infty \kappa_\perp d\kappa_\perp \times \frac{1}{2\pi i} \oint_C \omega d \ln \Delta^{\text{TM,TE}}(\omega, \kappa_\perp) S \quad 19$$

$$\sum_n g(a_n) - \sum_m g(b_m) = \frac{1}{2\pi i} \times \oint_C g(z) d \ln \Delta(z) \quad 20$$

در رابطه‌ی فوق پریند بسته‌ی C را مانند شکل ۳ در نظر می‌گیریم. این پریند شامل یک نیم دایره به شعاع بی‌نهایت در نیمه‌ی راست صفحه‌ی مختلط C_+ ، ω ، و یک خط روی محور موهومی $(-i\infty, +i\infty)$ به صورت پادساعتگرد می‌باشد. حال با جایگذاری رابطه‌ی (۲۰) در معادله‌ی (۱۸) (مثلاً برای مُد TM) خواهیم داشت:

$$E_{\text{Cas}}^{\text{TM}}(a) = \lim_{b \rightarrow \infty} \lim_{L \rightarrow \infty} \frac{\hbar S}{8\pi^2 i} \int_0^\infty \kappa_\perp d\kappa_\perp \times \oint_C \omega d \ln \left[\frac{e^{-2\kappa(\frac{L-a}{2})} \left((\varepsilon q + \kappa)^2 e^{q(\frac{L-a}{2})} - (\varepsilon q - \kappa)^2 e^{-q(\frac{L-a}{2})} \right)^2 e^{-ka} \left((\varepsilon q + \kappa)^2 e^{qa} - (\varepsilon q - \kappa)^2 e^{-qa} \right)}{e^{-2\kappa(\frac{L-b}{2})} \left((\varepsilon q + \kappa)^2 e^{q(\frac{L-b}{2})} - (\varepsilon q - \kappa)^2 e^{-q(\frac{L-b}{2})} \right)^2 e^{-kb} \left((\varepsilon q + \kappa)^2 e^{qb} - (\varepsilon q - \kappa)^2 e^{-qb} \right)} \right] \quad 21$$

بعد از گرفتن حد $L \rightarrow \infty$ عبارت فوق به صورت زیر ساده خواهد شد

$$E_{\text{Cas}}^{\text{TM}}(a) = \lim_{b \rightarrow \infty} \frac{\hbar S}{8\pi^2 i} \int_0^\infty \kappa_\perp d\kappa_\perp \oint_C \omega d \ln \left[\frac{(\varepsilon q + \kappa)^2 e^{qa} \left((\varepsilon q + \kappa)^2 e^{qa} - (\varepsilon q - \kappa)^2 e^{-qa} \right)}{(\varepsilon q + \kappa)^2 e^{qb} \left((\varepsilon q + \kappa)^2 e^{qb} - (\varepsilon q - \kappa)^2 e^{-qb} \right)} \right]$$

$$= \frac{\hbar}{8\pi^2 i} \int_0^\infty \kappa_\perp d\kappa_\perp \oint_C \omega d \ln \left[\frac{e^{-qa} \left((\varepsilon q + \kappa)^2 e^{qa} - (\varepsilon q - \kappa)^2 e^{-qa} \right)}{(\varepsilon q + \kappa)^2} \right]$$

$$= \frac{\hbar}{8\pi^2 i} \int_0^\infty \kappa_\perp d\kappa_\perp \oint_C \omega d \ln \left(1 - \left(\frac{\varepsilon q - \kappa}{\varepsilon q + \kappa} \right)^2 e^{-2qa} \right), \quad 22$$

به این ترتیب انتگرال روی مسیر C_+ به روش جزء به جزء به صورت زیر محاسبه خواهد شد که جواب آن البته صفر می‌شود:

$$\begin{aligned} I &= \omega \ln \left(1 - \left(\frac{\varepsilon q - \kappa}{\varepsilon q + \kappa} \right)^2 e^{-2qa} \right) \Big|_{C_+} \\ &\quad - \int_{C_+} d\omega \ln \left(1 - \left(\frac{\varepsilon q - \kappa}{\varepsilon q + \kappa} \right)^2 e^{-2qa} \right) \\ &= \lim_{r \rightarrow \infty} r \ln \left(1 - \left(\frac{\varepsilon q - \kappa}{\varepsilon q + \kappa} \right)^2 e^{-2qa} \right) \\ &\quad - \lim_{r \rightarrow \infty} \int_{-\frac{\pi}{2}}^{\frac{\pi}{2}} r \ln \left(1 - \left(\frac{\varepsilon q - \kappa}{\varepsilon q + \kappa} \right)^2 e^{-2qa} \right) d\theta \\ &= 0 \end{aligned} \quad ۲۵$$

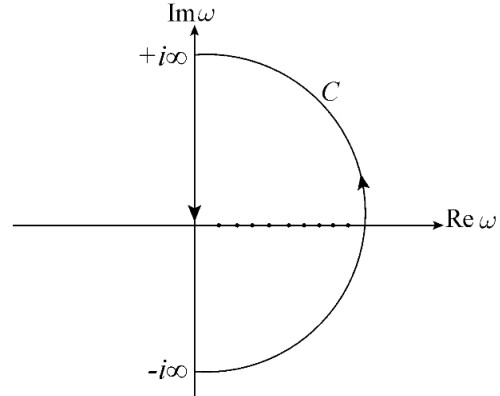
اکنون جمله‌ی باقی‌مانده از معادله‌ی (۲۳) را با استفاده از تغییر متغیر مناسب $\xi = i\omega$ ، به صورت

$$\begin{aligned} E_{\text{Cas}}^{\text{TM}}(a) &= -\frac{\hbar S}{8\pi^2} \int_0^\infty \kappa_\perp d\kappa_\perp \\ &\quad \times \int_{-\infty}^{+\infty} \xi d \ln \left(1 - \left(\frac{\varepsilon q - \kappa}{\varepsilon q + \kappa} \right)^2 e^{-2qa} \right) \end{aligned} \quad ۲۶$$

می‌نویسیم معادله‌ی (۲۶) را نیز با انتگرال‌گیری جزء به جزء به صورت زیر محاسبه می‌کنیم:

$$\begin{aligned} E_{\text{Cas}}^{\text{TM}}(a) &= \frac{-\hbar S}{8\pi^2} \int_0^\infty \kappa_\perp d\kappa_\perp \\ &\quad \times \left[\xi \ln \left(1 - \left(\frac{\varepsilon q - \kappa}{\varepsilon q + \kappa} \right)^2 e^{-2qa} \right) \Big|_{\xi=-\infty}^{\xi=+\infty} \right. \\ &\quad \left. - \int_{-\infty}^{+\infty} \ln \left(1 - \left(\frac{\varepsilon q - \kappa}{\varepsilon q + \kappa} \right)^2 e^{-2qa} \right) d\xi \right] \\ &= \frac{\hbar S}{4\pi^2} \int_0^\infty \kappa_\perp d\kappa_\perp \int_0^{+\infty} d\xi \ln \left(1 - \left(\frac{\varepsilon q - \kappa}{\varepsilon q + \kappa} \right)^2 e^{-2qa} \right), \end{aligned} \quad ۲۷$$

که در آن از زوج بودن انتگرالده با توجه به رابطه (۱۷) استفاده نموده‌ایم. با در نظر گرفتن مُد TE انرژی کازیمیر به شکل



شکل ۳: مسیر پربندی C ، که در آن نقاط بیان

کننده‌ی ریشه‌های توابع مولد $\Delta^{\text{TM,TE}}(\omega_n, \kappa_\perp)$ می‌باشند.

که در خط دوم آن حد $b \rightarrow \infty$ را نیز گرفته‌ایم. برای حل انتگرال پربندی مختلط معادله‌ی (۲۲) مطابق شکل ۳، پربند C همان طور که ذکر شد به مسیر C_+ و یک مسیر مستقیم روی محور موهومی شکسته می‌شود:

$$\begin{aligned} E_{\text{Cas}}^{\text{TM}}(a) &= \frac{\hbar S}{8\pi^2 i} \int_0^\infty \kappa_\perp d\kappa_\perp \\ &\quad \times \left[\int_{+i\infty}^{-i\infty} \omega d \ln \left(1 - \left(\frac{\varepsilon q - \kappa}{\varepsilon q + \kappa} \right)^2 e^{-2qa} \right) \right. \\ &\quad \left. + \underbrace{\int_{C_+} \omega d \ln \left(1 - \left(\frac{\varepsilon q - \kappa}{\varepsilon q + \kappa} \right)^2 e^{-2qa} \right)}_I \right]. \end{aligned} \quad ۲۳$$

از آنجا که C_+ یک نیم دایره به شعاع $r \rightarrow \infty$ می‌باشد. از آنجا که اجسام نسبت بسامدهای بالا (بالا تر از بسامد پلاسمای جسم) بطور شفاف رفتار می‌کنند در این حد خواهیم داشت

$$\begin{aligned} r &\rightarrow \infty \\ \Rightarrow \varepsilon(\omega) &\rightarrow 1, \kappa = q \rightarrow \infty, e^{-2qa} \rightarrow 0. \end{aligned} \quad ۲۴$$

بی‌نهایت‌ها و استخراج جواب فیزیکی متناهی در این مسأله پیچیدگی‌های خاصی دارد. مراجع متعددی که برای به دست آوردن جواب تلاش نموده‌اند، تا جایی که ما اطلاع پیدا کردیم، یا از تعریف ناصحیح انرژی کازیمیر استفاده کرده‌اند و این اشتباه با بی‌دقتی‌های دیگر پوشیده شده و یا روش‌های پیچیده و البته قابل تأمل پراکندگی استفاده نموده‌اند. در اکثر این موارد برخی بی‌نهایت‌ها به صورت دستی از مسأله خارج می‌شود. در این مقاله ما فرمول لیفشیتز را با استفاده از بازبهنجارش جعبه به صورت کاملاً سیستماتیک و خودسازگار به دست آورده‌ایم. در این روش از تعریف درست انرژی کازیمیر استفاده شده و همه‌ی بی‌نهایت‌ها (اعم از بی‌نهایت‌های وابسته به فاصله‌ی دو صفحه و بی‌نهایت‌های مستقل از آن) در خلال محاسبه و نه به صورت دستی حذف می‌شوند. فرمول (۳۰)، فشار وارد بر صفحات، همان رابطه‌ی لیفشیتز می‌باشد.

تشکر و قدردانی

نویسندگان از دکتر سید مهدی فاضلی برای بحث‌ها و راهنمایی‌های مفید ایشان تشکر می‌کنند.

پیوست:

در این پیوست، با استفاده از معادلات ماکسول و اعمال شرایط مرزی مناسب توابع مولد مدها، Δ^{TM} و Δ^{TE} ، را محاسبه خواهیم نمود. بدین منظور میدان‌های الکتریکی و مغناطیسی را به شکل زیر در نظر می‌گیریم:

$$E_{\text{Cas}}(a) = \frac{\hbar S}{4\pi^2} \int_0^\infty \kappa_\perp d\kappa_\perp \int_0^\infty d\xi \times \left\{ \ln \left[1 - r_{\text{TM}}^2(i\xi, \kappa_\perp) e^{-2qa} \right] + \ln \left[1 - r_{\text{TE}}^2(i\xi, \kappa_\perp) e^{-2qa} \right] \right\}, \quad 28$$

خواهد شد، که در آن r_{TE} و r_{TM} به ترتیب ضرایب بازتاب مربوط به مدهای مغناطیسی عرضی و الکتریکی عرضی می‌باشند و به صورت زیر نوشته می‌شوند:

$$r_{\text{TM}}(i\xi, \kappa_\perp) = \frac{\varepsilon(i\xi)q(i\xi, \kappa_\perp) - \kappa(i\xi, \kappa_\perp)}{\varepsilon(i\xi)q(i\xi, \kappa_\perp) + \kappa(i\xi, \kappa_\perp)}$$

$$r_{\text{TE}}(i\xi, \kappa_\perp) = \frac{q(i\xi, \kappa_\perp) - \kappa(i\xi, \kappa_\perp)}{q(i\xi, \kappa_\perp) + \kappa(i\xi, \kappa_\perp)}. \quad 29$$

اگر از رابطه‌ی فوق طبق معادله‌ی (۶) مشتق بگیریم حاصل، نیروی کازیمیر بین دو صفحه‌ی دی الکتریک در خلأ می‌باشد،

$$\frac{F_{\text{Cas}}(a)}{S} = \frac{\hbar}{2\pi^2} \int_0^\infty \kappa_\perp d\kappa_\perp \int_0^\infty d\xi, \quad 30$$

$$\times q \left[\frac{1}{1 - r_{\text{TM}}^{-2}(i\xi, \kappa_\perp) e^{2qa}} + \frac{1}{1 - r_{\text{TE}}^{-2}(i\xi, \kappa_\perp) e^{2qa}} \right]$$

این رابطه همان فرمول معروف لیفشیتز است که ما به صورت سراسر و خودسازگار، بدون در نظر گرفتن فرض‌های پیچیده‌ی پراکندگی به دست آوردیم.

نتیجه‌گیری

در این مقاله ما توانستیم فرمول معروف لیفشیتز، مربوط به انرژی کازیمیر بین دو صفحه‌ی دی الکتریک در دمای صفر مطلق، را با استفاده از تعریف صحیح و دقیق انرژی کازیمیر محاسبه نماییم. جزئیات استخراج این رابطه در مقاله‌ی اصلی لیفشیتز نیامده است. حذف

به دست خواهد آمد. علامت پریم در عبارت بالا نشان دهنده‌ی مشتق گیری نسبت به z می‌باشد. در ضمن در فضای بین دو صفحه $\mathcal{E}(\omega) = 1$ در نظر گرفته می‌شود. به همین ترتیب برای دو معادله‌ی دیگر ماکسول $\nabla \cdot \mathbf{E}(\mathbf{r}) = 0$ و $\nabla \cdot \mathbf{B}(\mathbf{r}) = 0$ خواهیم داشت

$$\begin{aligned} \mathbf{e}'_{s,z}(z, \boldsymbol{\kappa}_{\perp}) + i\boldsymbol{\kappa}_x \cdot \mathbf{e}_{s,x}(z, \boldsymbol{\kappa}_{\perp}) \\ + i\boldsymbol{\kappa}_y \cdot \mathbf{e}_{s,y}(z, \boldsymbol{\kappa}_{\perp}) = 0 \\ \mathbf{b}'_{s,z}(z, \boldsymbol{\kappa}_{\perp}) + i\boldsymbol{\kappa}_x \cdot \mathbf{b}_{s,x}(z, \boldsymbol{\kappa}_{\perp}) \\ + i\boldsymbol{\kappa}_y \cdot \mathbf{b}_{s,y}(z, \boldsymbol{\kappa}_{\perp}) = 0. \end{aligned} \quad \text{پ.۶}$$

اگر صفحه دی‌الکتریک ضخیم را ناحیه‌ی ۱ و فضای بین صفحات را ناحیه‌ی ۲ بگیریم، شرایط مرزی زیر را خواهیم داشت:

$$\begin{aligned} \mathbf{E}_{1t}(t, \mathbf{r}) &= \mathbf{E}_{2t}(t, \mathbf{r}), \\ \mathbf{D}_{1n}(t, \mathbf{r}) &= \mathbf{D}_{2n}(t, \mathbf{r}), \\ \mathbf{B}_{1t}(t, \mathbf{r}) &= \mathbf{B}_{2t}(t, \mathbf{r}), \\ \mathbf{B}_{1n}(t, \mathbf{r}) &= \mathbf{B}_{2n}(t, \mathbf{r}). \end{aligned} \quad \text{پ.۷}$$

اولین شرط مرزی معادله‌ی (پ.۷) به پیوستگی

$e_{s,x}, e_{s,y}$ در عبور از صفحات مرزی $z = \pm \frac{a}{2}$ می

انجامد، که از معادله‌ی (پ.۶) معادل پیوستگی $e'_{s,z}$

است. دومین شرط مرزی، $\mathbf{D}_{1n}(t, \mathbf{r}) = \mathbf{D}_{2n}(t, \mathbf{r})$

، باعث پیوستگی $\mathcal{E}_{p,z}$ در عبور از صفحات می‌شود.

از آنجایی که مولفه‌ی z میدان الکتریکی تنها برای

قطبش TM غیر صفر است (مطابق شکل ۴)،

$$\mathbf{E}(t, \mathbf{r}) = \mathbf{E}(\mathbf{r})e^{-i\omega t} \quad \text{پ.۱}$$

$$\mathbf{B}(t, \mathbf{r}) = \mathbf{B}(\mathbf{r})e^{-i\omega t}.$$

روابط فوق را در معادلات ماکسول فضای آزاد جایگذاری می‌کنیم، که حاصل به شکل

$$\begin{aligned} \nabla \cdot \mathbf{E}(\mathbf{r}) &= 0 \\ \nabla \cdot \mathbf{B}(\mathbf{r}) &= 0 \\ \nabla \times \mathbf{E}(\mathbf{r}) - \frac{i\omega}{c} \frac{\partial \mathbf{B}(\mathbf{r})}{\partial t} &= 0 \\ \nabla \times \mathbf{B}(\mathbf{r}) + \frac{i\mathcal{E}(\omega)\omega}{c} \frac{\partial \mathbf{E}(\mathbf{r})}{\partial t} &= 0, \end{aligned} \quad \text{پ.۲}$$

خواهد بود. با مشتق گیری از دو معادله‌ی اخیر روابط زیر به دست می‌آید

$$\begin{aligned} \nabla^2 \mathbf{E}(\mathbf{r}) + \mathcal{E}(\omega) \frac{\omega^2}{c^2} \mathbf{E}(\mathbf{r}) &= 0 \\ \nabla^2 \mathbf{B}(\mathbf{r}) + \mathcal{E}(\omega) \frac{\omega^2}{c^2} \mathbf{B}(\mathbf{r}) &= 0, \end{aligned} \quad \text{پ.۳}$$

که دسته جوابهای متعامد کاملی به صورت

$$\begin{aligned} \mathbf{E}_s(\mathbf{r}, \boldsymbol{\kappa}_{\perp}, \omega) &= \mathbf{e}_s(z, \boldsymbol{\kappa}_{\perp}) e^{i\boldsymbol{\kappa}_{\perp} \cdot \mathbf{r}_{\perp}} \\ \mathbf{B}_s(\mathbf{r}, \boldsymbol{\kappa}_{\perp}, \omega) &= \mathbf{b}_s(z, \boldsymbol{\kappa}_{\perp}) e^{i\boldsymbol{\kappa}_{\perp} \cdot \mathbf{r}_{\perp}} \end{aligned} \quad \text{پ.۴}$$

برای آنها (متناسب با مسأله‌ی مورد نظر ما) متصور

است. با جایگذاری جوابهای (پ.۴) در معادله‌ی

(پ.۳)، معادلات نوسانگر برای توابع e_p, b_p به

صورت

$$\begin{aligned} \mathbf{e}_s''(z, \boldsymbol{\kappa}_{\perp}) - \kappa_s^2 \mathbf{e}_s(z, \boldsymbol{\kappa}_{\perp}) &= 0 \\ \mathbf{b}_s''(z, \boldsymbol{\kappa}_{\perp}) - \kappa_s^2 \mathbf{b}_s(z, \boldsymbol{\kappa}_{\perp}) &= 0. \end{aligned} \quad \text{پ.۵}$$

شرط وجود جواب برای دسته معادلات (پ.۹) این است که دترمینان ضرایب صفر شود، یعنی

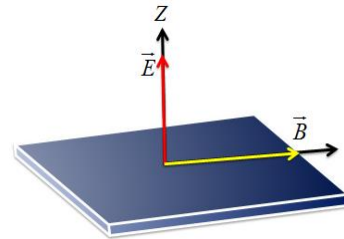
$$\Delta^{\text{TM}}(\omega, \kappa_{\perp}, a) \equiv e^{-\kappa a} \quad \text{پ.۱۱}$$

$$\times [(\varepsilon q + \kappa)^2 e^{qa} - (\varepsilon q - \kappa)^2 e^{-qa}] = 0$$

به همین ترتیب برای مُد TE نیز خواهیم داشت:

$$\Delta^{\text{TE}}(\omega, \kappa_{\perp}, a) \equiv e^{-\kappa a} \quad \text{پ.۱۲}$$

$$\times [(q + \kappa)^2 e^{qa} - (q - \kappa)^2 e^{-qa}] = 0.$$



شکل ۸: قطبش مغناطیسی عرضی.

تنها از حالت مغناطیسی عرضی استفاده می‌کنیم و $e_{\text{TM},z}$ را بصورت زیر نمایش می‌دهیم:

$$\mathbf{e}_{\text{TM},z} = \begin{cases} Ae^{\kappa z} & z < \frac{-a}{2} \\ Be^{qz} + Ce^{-qz} & \frac{-a}{2} \leq z \leq \frac{+a}{2} \\ De^{-\kappa z} & z > \frac{+a}{2} \end{cases} \quad \text{پ.۸}$$

با توجه به پیوستگی‌های که پیشتر توضیح داده شد، با اعمال شرایط مرزی در $z = \pm \frac{a}{2}$ به معادلات زیر می‌سیم:

$$A\kappa e^{-\kappa \frac{a}{2}} = Bqe^{-q \frac{a}{2}} - Cqe^{q \frac{a}{2}}$$

$$-D\kappa e^{-\kappa \frac{a}{2}} = Bqe^{q \frac{a}{2}} - Cqe^{-q \frac{a}{2}} \quad \text{پ.۹}$$

$$A\varepsilon e^{-\kappa \frac{a}{2}} = Be^{-q \frac{a}{2}} + Ce^{q \frac{a}{2}}$$

$$D\varepsilon e^{-\kappa \frac{a}{2}} = Be^{q \frac{a}{2}} + Cqe^{-q \frac{a}{2}}$$

که در آن

$$q^2 = \kappa_{\perp}^2 - \frac{\omega^2}{c^2} \text{ و } \kappa^2 = \kappa_{\perp}^2 - \varepsilon(\omega) \frac{\omega^2}{c^2}$$

پ.۱۰

[1–34]

References

- [1] H.B.G. Casimir, On the attraction between two perfectly conducting plates, Proc. K. Ned. Akad Wet 51 (1948) 793.
- [2] A.D. Phan, N.A. Viet, N. A. Poklonski, L. M. Woods and C.H. Le, Interaction of a graphene sheet with a ferromagnetic metal plate, Phys. Rev. B 86 (2012) 15541.
- [3] M.J. Sparnaary, Measurements of attractive force between flat plates, Physica. 24 (1958) 751.
- [4] A.R. Mohideen, Precision measurements of the casimir force, Phys. Rev. Lett. 81 (1998) 21.
- [5] E.M. Lifshitz, The theory of molecular attractive forces between solids, Zh. Eksp. Teor. Fiz. 29 (1955) [Soviet Phys. JETP 2 (1956) 73].
- [6] V.V. Nesterenko, Surface modes and photonic modes in Casimir calculations for a compact cylinder, J. Phys. A: Math. Theor. 41 (2008) 164005.
- [7] V.V. Nesterenko, Boundary conditions at spatial infinity for fields in Casimir calculations, [arXiv: hep-th/0511018] (2005).
- [8] M. Bordag, U. Mohideen and V.M. Mostepanenko, New development in the Casimir effect, Phys. Rept. 353 (2001) 1.
- [9] V.M. Mostepanenko, A. O. Caride, G.L. Klimchitskaya and S. I. Zanette, Some mathematical aspects of the Lifshitz formula for the thermal Casimir force, Proc. Sci. WC2004 (2005) 030, [arXiv:quant-ph/0503064].
- [10] M. Bordag, G.L. Klimchitskaya, U. Mohideen and V.M. Mostepanenko, Advances in the Casimir effect (Oxford university press, Oxford, 2009).
- [11] V.V. Nesterenko and I.G. Pirozhenko, Lifshitz formula by spectra summation method, Phys. Rev. A 86 (2012) 052503.
- [12] B. Geyer, G.L. Klimchitskaya, and V.M. Mostepanenko, Thermal quantum field theory and the Casimir interaction between dielectrics, Phys. Rev. D 72 (2005) 085009.
- [13] G. Plunien, B. Muller and W. Griner, The Casimir effect, Phys. Rep. 134 (1986) 87.
- [14] Y.S. Barash and V.L. Ginzburg, Electromagnetic fluctuations is a substance and molecular (Van der Waals) forces between them, Sov. Phys. Usp. 18 (1975) 305.

- [15] J.Q. Quach, Gravitational Casimir Effect, *Phys. Rev. Lett.* 114 (2015) 081104.
- [16] E. Sassaroli, Y.N. Srivastava, J. Swain and A. Widom, The dynamical and static Casimir effects and the thermodynamic instability. [arXiv: hep-ph/9805479 (1998)].
- [17] B.W. Ninham, V.A. Parsegian, and G.H. Weiss, Temperature-dependent van der Waals forces, *Biophysical journal*, 10 (1970) 664.
- [18] G.L. Klimchitskaya, U. Mohideen, and V.M. Mostepanenko, Casimir and van der Waals forces between two plates or a sphere (lens) above a plate made of real metals, *Phys. Rev. A* 61 (2000) 062107.
- [19] Y.S. Barash and V.L. Ginzburg, Electromagnetic fluctuations in matter and molecular (Van der Waals) forces between them. *Sov. Phys. Usp.* 18 (1975) 305.
- [20] J. Feinberg, A. Mann and M. Revzen, Casimir effect: the classical limit, *Ann. Phys.* 288 (2001) 103.
- [21] F. Intravaia, and A. Lambrecht, The role of surface plasmon modes in the Casimir effect, *Open systems and information dynamics*, 14 (2007) 159.
- [22] M. J. Renne, Microscopic theory of retarded van der Waals forces between macroscopic dielectric bodies, *Physica* 56 (1971) 125.
- [23] V.B. Bezerra, G.L.Klimchitskaya, and V.M. Mostepanenko, Correlation of energy and free energy for the thermal Casimir force between real metals, *Phys. Rev. A*, 66 (2002) 062112.
- [24] E. Gerlach, Equivalence of van der Waals forces between solids and the surface-plasmon interaction, *Phys. Rev. B* 4 (1971) 393.
- [25] D. Iannuzzi, M. Lisanti, and F. Capasso, Effect of hydrogen-switchable mirrors on the Casimir force, *Proceedings of the National Academy of Sciences*, 101 (2004) 4019.
- [26] K. Schram, On the macroscopic theory of retarded van der Waals forces, *Phys. Lett. A.* 43 (1973) 282.
- [27] M.P. Hertzberg, R.L. Jaffe, M. Kardar, and A. Scardicchio, Attractive Casimir forces in a closed geometry. *Phys. Rev. Lett.* 95 (2005) 250402.
- [28] R. Büscher, and T. Emig, Geometry and spectrum of Casimir forces, *Phys. Rev. Lett.* 94 (2005) 133901.
- [29] S.S. Gousheh, R. Moazzemi, and M. A. Valuyan, Radiative correction to the Dirichlet Casimir energy for $\lambda\phi^4$ theory in two spatial dimensions, *Phys. Lett.* B681 (2009) 477.

- [30] M. A. Valuyan, R. Moazzemi, S.S. Gousheh, A direct approach to the electromagnetic Casimir energy in a rectangular waveguide, *J. Phys. B: At. Mol. Opt. Phys.* 41 (2008) 145502.
- [31] R. Moazzemi, M. Namdar, and S.S. Gousheh. The Dirichlet Casimir effect for ϕ^4 theory in (3+ 1) dimensions: a new renormalization approach, *JHEP* 09 (2007) 029.
- [32] R. Moazzemi, S.S. Gousheh, A new renormalization approach to the Dirichlet Casimir effect for ϕ^4 theory in (1+1) dimensions, *Phys. Lett. B* 658 (2008) 255.
- [33] V. Kampen, N.G. Nijboer, On macroscopic theory of van der waals forces, *Euro. Phys. Lett.* 26 (1968) 307.
- [34] L.V. Ahlfors, *Complex analysis*, (McGraw-Hill, 1979).